Корреляционная теория флуктуаций флуоресценции одиночных молекул, случайно движущихся в наноколодце

B. B. Kлимов¹⁾

Физический институт им. П. Н. Лебедева РАН, 119991 Москва, Россия

Институт спектроскопии РАН, 108840 Троицк, Москва, Россия

Поступила в редакцию 24 июня 2024 г. После переработки 22 июля 2024 г. Принята к публикации 23 июля 2024 г.

Предложен регулярный способ количественного описания флуоресценции молекул, случайно движущихся в наноколодце. Найдены корреляционные функции флюоресценция одиночных молекул в зависимости от геометрии наноколодца и глубины проникновения в него возбуждающего поля. Полученные результаты позволят не только количественного анализировать свойства молекул, но и извлекать информацию о параметрах наноколодца.

DOI: 10.31857/S0370274X24080135, EDN: LFPGNG

1. Введение. В настоящее время важным экспериментальным инструментом исследования динамических свойств молекул, макромолекул и наночастиц в различных средах и химических реакций между ними является метод флуоресцентной корреляционной спектроскопии (Fluorescence Correlation Spectroscopy, FCS, см., например, [1–3]), в котором экспериментально измеряется и потом анализируется автокорреляционная функция интенсивности флуоресценции

$$G(\tau) = \frac{\langle I(t)I(t+\tau)\rangle}{\langle I\rangle^2} - 1, \ G(\infty) = 0,$$
 (1)

где I(t) обозначает сигнал фотодетектора, а угловые скобки обозначают усреднение по времени.

Обычно FCS используется в контексте оптической микроскопии [1–3]. В этих методах свет фокусируется на образце, и измеренные флуктуации интенсивности флуоресценции (из-за диффузии молекул, физических или химических факторов, агрегации и т.л.) анализируются с помощью автокорреляционной функции интенсивности флюоресценции.

Современные нанотехнологии привели к развитию нанооптики, в которой оптические поля можно локализовать на наномасштабах, т.е. на масштабах, много меньших длины волны света в вакууме. В нанооптике особенно интересны эффекты, связанные с локализацией света в одиночных наноотверстиях [4] и с влиянием наноотверстий на излучение молекул [5–9]. В упорядоченных решетках наноотвер-

стий в металлических нанопленках возникают экстраординарное прохождение света [10-12] и гигантская асимметрия прохождения света [13], невозможные для одиночных отверстий.

Наноотверстия в металлических нанопленках могут иметь объемы на порядки меньшие, чем объемы, достигаемые с помощью конфокальной микроскопии. В силу этого в таких наноотверстиях не может распространяться оптическое излучение, и потому их сейчас часто называют наноколодцами (Nanowell, NW) или безмодовыми волноводами (Zero-Mode Waveguide, ZMW).

ZMW открывают совершенно новые перспективы анализа динамики молекул на основе изучения флуктуаций их флюоресценции [14–30]. На рисунке 1 иллюстрируется различие динамики флюоресцирующих молекул в свободном пространстве и внутри ZMW.

Из рисунка 1 видно, что при существенно субволновых размерах ZMW адресация молекул становится существенно более точной, а шумы от окружающего пространства существенно ограничиваются.

С другой стороны, структура ZMW является очень сложной и зависит от многих параметров: от качества литографии, от материалов пленки, в которой сделаны отверстия, от того, как функционализированы дно и стенки ZMW, от природы взаимодействия молекул и стенок ZMW (гашение), от структуры поля возбуждения и т.д.

Поэтому главная проблема описания флюоресценции в ZMW заключается в сложном характере взаимодействия света и молекул с дном и стенками

¹⁾e-mail: klimovvv@lebedev.ru

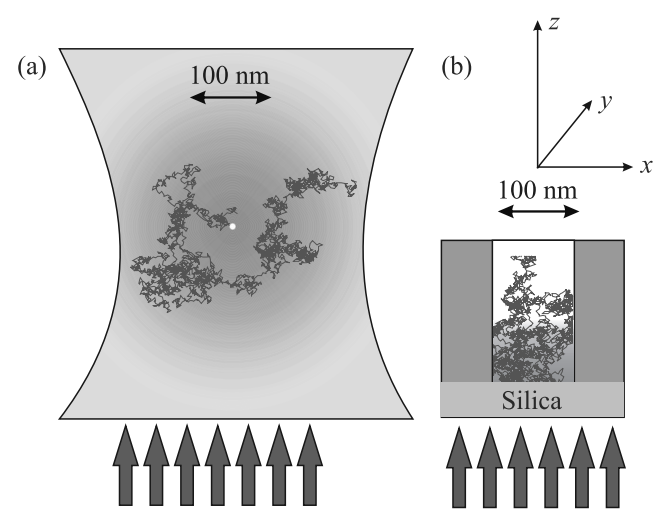


Рис. 1. (Цветной онлайн) Геометрия диффузии молекул в свободном пространстве в сфокусированном пучке (a) и в эванесцентном (экспоненциально спадающем) поле открытого ZMW (b). Красная кривая — траектория броуновского движение молекулы красителя цианин 3 (Cy3) в течение $60\,\mathrm{mkc}$ (временной шаг — $20\,\mathrm{hc}$). Зеленые стрелки обозначают возбуждающее поле

волновода. В силу этого анализ флюоресценции молекул может помочь не только определить диффузионные свойства молекул, но и свойства ZMW: размеры, качество стенок [17] и т.д.

Эффективность FCS критически связана с наличием модели, которая связывает измеренные корреляционные функции с параметрами ZMW.

Когда известна подходящая модель, FCS может дать информацию о таких параметрах как:

- коэффициенты диффузии;
- гидродинамические радиусы;
- средние концентрации;
- скорости кинетических и химических реакций;
- синглет-триплетная динамика;
- усилении или гашение флуоресценции молекул, находящихся внутри ZMW (эффект Парселла [8, 31]);
- свойства ZMW: размеры, качество стенок (прилипание).

Флуоресценция молекулы, которая свободно диффундирует в однородной жидкости в поле гауссова пучка света, описывается корреляционной функцией (см., например, [1–3]):

$$G_N(\tau) = \frac{1}{N} (1 + \tau/\tau_{\perp})^{-1} (1 + \tau/\tau_{\parallel})^{-1/2}$$
 (2)

$$\tau_{\perp} = w_{\parallel}^2 / D_0, \quad \tau_{\parallel} = w_{\parallel}^2 / D_0.$$
(3)

В (2), (3) N обозначает среднее число молекул в объеме $V=(2\pi)^{3/2}w_{\perp}^2w_{\parallel},~D_0$ обозначает коэффициент

диффузии молекул в растворителе, w_{\perp} и w_{\parallel} обозначают параметры гауссова пучка, который возбуждает флуоресценцию.

При анализе диффузии в ZMW обычно используется феноменологическое обобщение (2) (см., например, [2,17]):

$$G_N(\tau) = \frac{1}{N} \sum_{i} \alpha_i (1 + \tau/\tau_{\perp,i})^{-1} (1 + \tau/\tau_{\parallel,i})^{-1/2}, \quad (4)$$

которое, очевидно, никак не связано с геометрией ZMW, и поэтому не может описать все специфичные для ZMW особенности корреляционной функции.

Целью данной работы является разработка метода нахождения автокорреляционной функции флуоресценции молекул в ZMW с учетом его геометрии. Такой подход позволяет не только глубже понять фундаментальную физику флуоресценции молекул в ZMW, но и обеспечить более полное извлечение информации из экспериментальных данных.

2. Геометрия задачи и основные уравнения. Геометрия задачи показана на рис. 2. В данной исследуется не только стандартный открытый ZMW (рис. 2a), но и родственные геометрии, которые позволяют лучше понять физику флуоресценции в ZMW (рис. 2b и 2c).

Сигнал флуоресценции молекулы зависит как от положения молекулы, так и от ее ориентации. Здесь мы будем рассматривать времена, существенно большие по сравнению с временами корреляции вращательной диффузии молекул, и поэтому сигнал флуоресценции рассматривается как результат усреднения по поляризациям возбуждающего излучения и по ориентациям молекулы. В результате, в случае монохроматического и неполяризованного возбуждающего поля сигнал флуоресценции от молекулы в точке $\mathbf{r}(t)$ может быть описан выражением:

$$I(t) = \text{const} \frac{4|\mathbf{d}_{textabs}|^2 |\mathbf{E}_{\text{exc}}(\mathbf{r}(t))|^2}{\hbar^2 \Gamma_2} \times$$

$$\times\,\frac{|\mathbf{d}_{\mathrm{det}}|^2Tr(\overleftarrow{G}(\mathbf{r}_{\mathrm{det}},\mathbf{r}(t))^2)|\mathbf{d}_{\mathrm{em}}|^2}{\hbar^2\omega_{\mathrm{em}}\Gamma_{\mathrm{tot}}}=$$

$$= \operatorname{const}|\mathbf{E}_{\operatorname{exc}}(\mathbf{r}(t))|^{2} Tr(\overleftarrow{G}(\mathbf{r}_{\operatorname{det}}, \mathbf{r}(t))^{2}) = P(\mathbf{r}(t)), \quad (5)$$

где $\overrightarrow{G}_{\alpha\beta}(\mathbf{r}_{\rm det},\mathbf{r})$ обозначает тензорную функцию Грина уравнения Максвелла с дипольным источником [6,8]; Γ_2 и $\Gamma_{\rm total}$ обозначают скорости спонтанного излучения молекулы на частоте возбуждения и полную скорость спонтанного распада на частоте излучения $\omega_{\rm em}$ соответственно. $\mathbf{E}_{\rm exc}(\mathbf{r})$ обозначает напряженность электрического поля в ZMW. $\mathbf{d}_{\rm abs}$, $\mathbf{d}_{\rm em}$ и $\mathbf{d}_{\rm det}$ обозначают дипольные моменты молекулы при

240 В. В. Климов

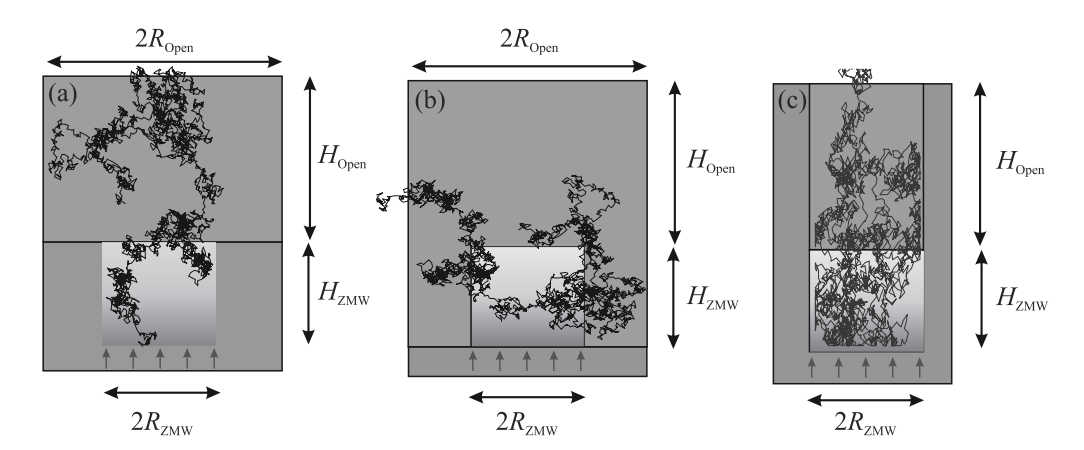


Рис. 2. (Цветной онлайн) Случайное движение молекулы в открытом ZMW (a); в свободном полупространстве (Z>0), в котором возбуждающее поле такое же, как и в ZMW (b); в открытом ZMW в виде бесконечного по высоте капилляра с радиусом, равным радиусу ZMW (c). Градиентная красно-желтая заливка обозначает область возбуждающего электромагнитного поля, которое экспоненциально убывает при удалении от дна ZMW. $R_{\rm Open}\gg R_{\rm ZMW},\ H_{\rm Open}\gg H_{\rm ZMW}$

поглощении и испускании света, и эффективный дипольный момент детектора, соответственно.

Важно заметить, что в (5) учитывается как спадание возбуждающего поля внутри наноколодца $|\mathbf{E}(\mathbf{r})|^2 \sim \exp(-z/Z_E)$, так и экспоненциально убывающая вероятности выхода фотона флуоресценции из глубины наноколодца $P_{\text{det}}(\mathbf{r}) \sim Tr(\overrightarrow{G}(\mathbf{r}_{\text{det}}\mathbf{r})^2)/\Gamma_{\text{tot}} \sim \exp(-z/Z_P)$, которая может быть оценена из принципа взаимности Лоренца $\overrightarrow{G}(\mathbf{r}_{\text{det}},\mathbf{r}) = \overrightarrow{G}(\mathbf{r},\mathbf{r}_{\text{det}})$ [32, 33]. В дальнейшем для краткости мы будем называть $P(\mathbf{r})$ в (5) интенсивностью флуоресценции.

На рисунке 3 показано распределение интенсивности возбуждающего электрического поля $|\mathbf{E}(\mathbf{r})|^2$ в ZMW при нормальном падении циркулярно поляризованной волны.

Анализ рисунка 3 показывает, что поле спадает экспоненциально внутри ZMW и что интенсивность флуоресценции (5) от глубины z положения молекулы в ZMW может быть аппроксимирована экспоненциальной функцией:

$$P(r,z) = \begin{cases} e^{-z/L}, & r < R_{ZMW}, \\ 0, & r > R_{ZMW}, \end{cases} \frac{1}{L} = \frac{1}{Z_E} + \frac{1}{Z_P},$$
(6)

где $Z_E \approx Z_P$ обозначают глубину проникновения поля в ZMW и длину затухания вероятности фотона выйти из ZMW соответственно.

Наш подход позволяет рассматривать и более сложные модели пространственного распределения интенсивности флуоресценции $P(\mathbf{r})$, но в данной работе мы ограничимся выражением (6), так как это позволит получить аналитические выражения для

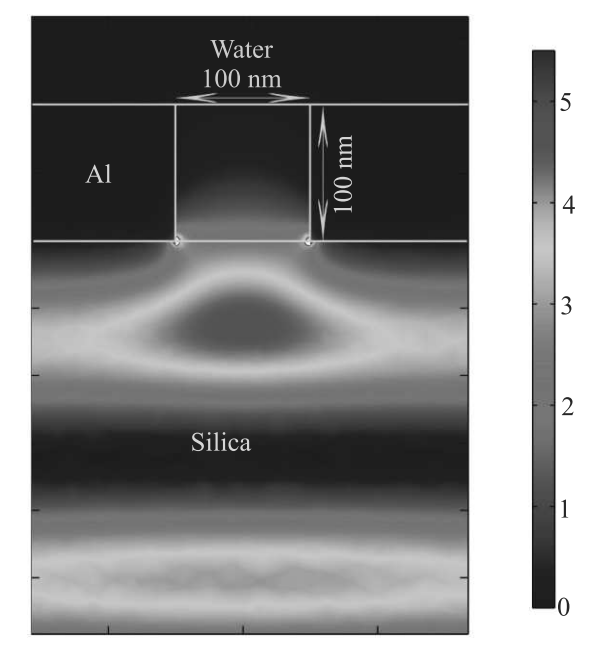


Рис. 3. (Цветной онлайн) Распределение $|\mathbf{E}|^2$ в ZMW в Al пленке на кварцевой подложке, $\lambda=532\,\mathrm{hm}$. Циркулярно поляризованная волна падает снизу; видна интерференционная картина, возникающая при отражении света от Al пленки с ZMW

корреляционных функций и лучше понять физику процессов.

Предполагая, что процесс диффузии стационарный, корреляционную функцию флуоресценции одиночной молекулы (1) можно выразить через вероятность $\operatorname{Prob}(\mathbf{r}',t|\mathbf{r},t+\tau)$ обнаружения молекулы в момент времени $t+\tau$ в точке \mathbf{r} , при условии, что в момент времени t молекула находилась в точке \mathbf{r}' :

$$G(\tau) = \frac{\int\limits_{V} d\mathbf{r} \int\limits_{V} d\mathbf{r}' P(\mathbf{r}) P(\mathbf{r}') \frac{1}{V} \text{Prob}(\mathbf{r}', t | \mathbf{r}, t + \tau)}{\left(\frac{1}{V} \int\limits_{V} d\mathbf{r} P(\mathbf{r})\right)^{2}} - 1.$$
(7)

В (7) и далее $V\to\infty$ обозначает объем, в котором случайно блуждает молекула (см. рис. 2). Используя теорему Фейнмана–Каца [34, 35] $\operatorname{Prob}(\mathbf{r}',t|\mathbf{r},t+ au)$ может быть выражена через функцию Грина уравнения диффузии:

$$\operatorname{Prob}(\mathbf{r}', t | \mathbf{r}, t + \tau) = G_{\operatorname{diff}}(\tau, \mathbf{r}, \mathbf{r}'),$$

$$\frac{\partial G_{\operatorname{diff}}(\tau, \mathbf{r}, \mathbf{r}')}{\partial \tau} = D_0 \Delta G_{\operatorname{diff}}(\tau, \mathbf{r}, \mathbf{r}'), \quad \mathbf{r} \in V, \quad (8)$$

$$(\mathbf{n} \nabla) G_{\operatorname{diff}}(\tau, \mathbf{r}, \mathbf{r}') = 0, \quad \mathbf{r} \in S;$$

$$G_{\operatorname{diff}}(0, \mathbf{r}, \mathbf{r}') = \delta^{(3)}(\mathbf{r} - \mathbf{r}').$$

В (8) и ниже S обозначает непроницаемую для молекул поверхность наноколодца, D_0 — коэффициент диффузии и ${\bf n}$ обозначает внешнюю нормаль к поверхности.

3. Результаты и их обсуждение. Выражение (7) точное и описывает корреляционную функцию ZMW для любых времен и любых геометрий ZMW. В области малых времен ($\tau \ll L^2/D_0$), разлагая функцию Грина уравнения диффузии по τ и интегрируя по частям, можно найти, что для любой геометрии ZMW

$$G(\tau) = 1 - \tau D_0 \frac{\int_V d\mathbf{r} (\nabla P(\mathbf{r}))^2}{\int_V d\mathbf{r} P^2(\mathbf{r})} \approx \exp \left(-\tau D_0 \frac{\int_V d\mathbf{r} (\nabla P(\mathbf{r}))^2}{\int_V d\mathbf{r} P^2(\mathbf{r})} \right), \tag{9}$$

если использовать нормировку на 1 частицу в объеме $V^* = 2\pi L R_{ZMW}^2$, т.е. для концентрации молекул в растворе $n=1/V^*$. В дальнейшем мы будем рассматривать именно такой случай. Асимптотика (9) весьма замечательна, так как она показывает, что при малых временах корреляционная функция не чувствует форму ZMW, а чувствует только распределение интенсивности флуоресценции (5).

В случае произвольных времен задержки τ аналитические решения можно найти в случае очень тонких пленок $H_{ZMW}\ll L$ (рис. 2b) или очень глубоких $H_{ZMW}\gg L$ наноколодцев (рис. 2c).

Случай очень тонких пленок $H_{ZMW} \ll L$ (рис. 2b) эквивалентен задаче о диффузии молекул в полупространстве z > 0, в котором интенсивность флуоресценции описывается уравнением (6). В этом

случае уравнение диффузии решается методом отражения от плоскости z=0 и имеет вид:

$$G_{\text{diff}}(\tau, \mathbf{r}, \mathbf{r}') = \frac{1}{\pi^{3/2} \Delta^3} \times \exp\left(-\frac{(\mathbf{r} - \mathbf{r}')^2}{\Delta^2}\right) \left(1 + \exp\left(-\frac{4zz'}{\Delta^2}\right)\right), \quad (10)$$
$$\Delta = \sqrt{4D_0 \tau}$$

и корреляционную функцию можно записать в виде

$$G(\tau) = \frac{2}{\pi^{1/2}} R^{*2} IR(R^*) L^* IZ(L^*),$$

$$R^* = \frac{R_{ZMW}}{\Delta}; \quad L^* = \frac{L}{\Delta}.$$
(11)

B (11)

$$IR(R^*) = \frac{4}{{R^*}^4} \int\limits_0^{R^*} \rho d\rho \int\limits_0^{R^*} \rho' d\rho' I_0(2\rho\rho') \exp(-(\rho^2 + {\rho'}^2)),$$

$$IR(0) \approx 1 - R^{*2}, \ IR(R^* \to \infty) = \frac{1}{R^{*2}} - \frac{1}{\sqrt{\pi}R^{*3}}. \ (12)$$

$$IZ(L^*) = \frac{1}{2L^{*2}} + \frac{e^{\frac{1}{4L^{*2}}(-1+2L^{*2})}\sqrt{\pi}erfc\left(\frac{1}{2L^*}\right)}{4L^{*3}},$$
$$IZ(0) = 2,$$
 (13)

$$IZ(L^* \to \infty) = \frac{\sqrt{\pi}}{2L^*} \left(1 - \frac{1}{4L^{*2}} \right) + \dots$$

В предельном случае очень глубокого ZMW, $H_{\rm Open} \to \infty$, т.е. для 1D бесконечного цилиндра (рис. 2c) аналитическое выражение для корреляционной функции имеет вид

$$G_{1D}^{\text{Inf}}(\tau) = \frac{2L^*}{\sqrt{\pi}} IZ(L^*). \tag{14}$$

При произвольных соотношениях между L и H в качестве хорошего приближения можно взять решение уравнения диффузии для замкнутого ZMW, в котором диффузия молекул из ZMW в свободное пространство $z>H_{\rm ZMW}$ учитывается при помощи условия полного поглощения молекул на верхней границе ZMW при $z=H_{\rm ZMW}$. В этом случае корреляционная функция (7) принимает вид:

$$G_{\text{appr}}(\tau) = \frac{\sum_{n=0}^{\infty} e^{-\lambda_n^2 D_0 \tau} a_n^2}{\sum_{n=0}^{\infty} a_n^2}; \quad \lambda_n = \frac{(2n+1)\pi}{2H_{ZMW}};$$

$$a_n = \frac{1 + (-1)^n e^{-\frac{H_{ZMW}}{L}} L \lambda_n}{1 + L^2 \lambda_n^2}.$$
 (15)

242 В. В. Климов

Для точного нахождения корреляционной функции при произвольных параметрах ZMW мы численно решали уравнение диффузии (8) во временной области с начальным значением $G_{\rm diff}({\bf r},t=0)=P({\bf r}),$ и потом интегрировали полученное решение для нахождения корреляционной функции

$$G(\tau) = \int_{V} G_{\text{diff}}(\mathbf{r}, \tau) P(\mathbf{r}) d\mathbf{r}.$$
 (16)

Для численного решения (8) мы использовали систему COMSOL Multiphysics интерфейс Mathematics > PDE Interfaces > Coefficient Form PDE и прямой MUMPS алгоритм с относительной точностью (relative tolerance) 0.01. Объем области интегрирования выбирался существенно больше объема ZMW, $V_{\rm Open} = \pi R_{\rm Open}^2 H_{\rm Open} \sim 100 V_{ZMW}, \ V_{ZMW} = \pi R_{ZMW}^2 H_{ZMW}$, размер ячейки сетки в ZMW был равен 0.05 нм. Всего для решения задачи использовалось около 5000000 конечных элементов. В такой конфигурации норма решения сохранялась с точность лучше 5 знаков на интервале до 10 с.

Аналитические результаты и результаты численного интегрирования показаны на рис. 4 сплошными кривыми. Пунктирными линиями того же цвета показывают результаты приближенных вычислений с помощью (15).

Из рисунка 4 видно, что время корреляции в наноколодце с пространственным распределением интенсивности флуоресценции (6) всегда на один-два порядка больше, чем в свободном полупространстве (рис. 2b), т.е. ZMW оказывает существенно влияние на флуоресценцию молекул. Очевидно, это связано с тем, что движение в полупространстве в основном трехмерное, в то время как внутри ZMW движение ближе к одномерному. При временах τ < $< H_{ZMW}^2/(4D_0)$ корреляционная функция хорошо описывается корреляционной функцией бесконечно глубокого наноколодца (14), так как за эти времена молекула не успевают выйти из ZMW. При произвольных временах и при произвольной геометрии ZMW приближение (15) неплохо описывает точное решение (7), причем точность возрастает при увеличении глубины наноколодца по сравнению с глубиной проникновения поля L и радиусом ZMW R_0 . При $\tau \gg H_{ZMW}^2/(4D_0)$ асимптотика корреляционной функции стремится к корреляционной функции в свободном пространстве (левая черная кривая), т.е. $G(\tau) \sim \tau^{-3/2}$, что конечно согласуется как с (11)— (13), так и с (2), так при достаточно больших временах задержки молекула определенно выйдет из ZMW, а вернуться обратно определенно не сможет из-за трехмерности пространства [34].

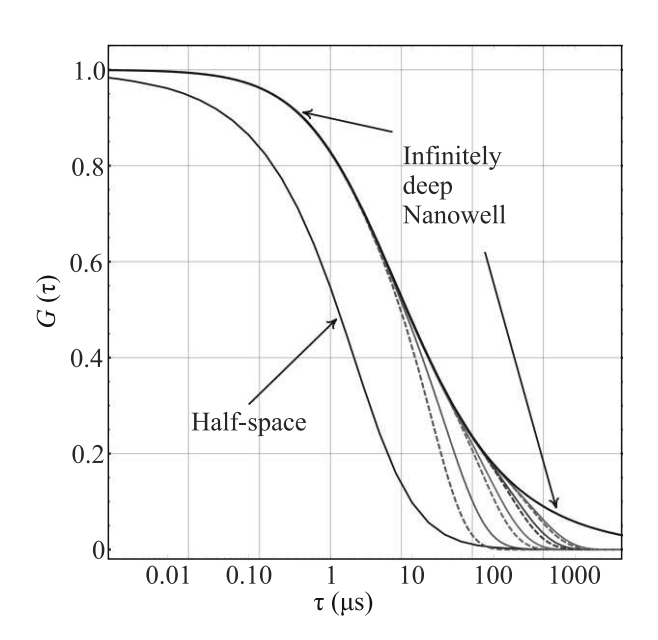


Рис. 4. (Цветной онлайн) Корреляционные функции флуоресценции молекул в наноколодце с различными геометриями. Сплошная черная кривая слева — аналитическое решение для полупространства (11). Сплошная черная кривая справа — аналитическое решение для глубокого ZMW (14). Цветные линии между ними — результаты численного интегрирования при $H_{\rm ZMW}=100$ нм (красная), 200 нм(зеленая), 300 нм (синяя), 400 нм (сиреневая). Штриховые цветные кривые — аппроксимация (15). Радиус ZMW во всех случаях 50 нм, коэффициент диффузии $D_0=2.4 \times 10^{-4}$ мкм² мкс⁻¹ (Су3 краситель), параметр спадания интенсивности флуоресценции (6) L=25 нм

4. Заключение. В данной работе впервые разработана корреляционная теория флуктуаций флуоресценции молекул, случайно блуждающих в открытом наноколодце, и найдены аналитические решения для корреляционной функции флуоресценции. Показано, что в наноколодце времена корреляции флуоресценции на несколько порядков больше времен корреляции в свободном пространстве. Это связано с тем, что диффузия молекул в ZMW существенно ограничена его геометрией. Полученные аналитические выражения определенно будут весьма востребованными при анализе экспериментальных данных при секвенировании ДНК [26, 27] и при решении аналогичных задач, например, при анализе пространственной траектории отдельной молекулы, измеренной с помощью трехмерной флуоресцентной наноскопии [36].

В данной работе рассмотрены наноколодцы в металлических пленках с однородным в пространстве распределением коэффициентов диффузии, но разработанные методы могут быть применены и к более

общим случаям, когда дно или стенки функционализированы, и коэффициенты диффузии вблизи них существенно отличаются от коэффициентов диффузии в основном объеме жидкости. Если вблизи стенок существенны эффекты гашения флуоресценции, то это также может быть учтено в нашем подходе путем модификации функции $P(\mathbf{r})$, описывающей интенсивность флуоресценции в точке \mathbf{r} (см. (6)). Пространственная неоднородность коэффициентов диффузии приводит к новым интересным эффектам, которые заслуживают специального исследования.

Флуоресценция и диффузия макромолекул и наночастиц в наноколодцах в диэлектрических пленках (трековые мембраны) также представляют значительный интерес [37], однако в этом случае возбуждающее поле не убывает экспоненциально, а проникает на всю глубину наноколодца, и описание флуктуаций флуоресценции в такой постановке задачи требует отдельного исследования.

Финансирование. Автор благодарен Российскому научному фонду за финансовую поддержку данной работы (грант #23-42-00049).

Конфликт интересов. Автор данной работы заявляет, что у него нет конфликта интересов

- O. Krichevsky and G. Bonnet, Rep. Prog. Phys. 65, 251 (2002).
- J. Widengren, U. Mets, and R. Rigler, J. Phys. Chem. 99, 13368 (1995).
- S. R. Aragón and R. Pecora, J. Chem. Phys. 64, 1791 (1976).
- V. V. Klimov and V. S. Letokhov, Opt. Commun. 106, 151(1994).
- V. V. Klimov, D. V. Guzatov, and I. V. Treshin, Phys. Rev. A 91, 023834 (2015).
- V. Klimov, Nanoplasmonics, Pan Stanford Publishing, Singapore (2014), 586 p.
- 7. V. V. Klimov, Phys. Rev. Appl. 12, 014049 (2019).
- 8. V.V. Klimov, Phys.-Uspekhi 64, 990 (2021).
- 9. V. V. Klimov, M. Ducloy, and V. S. Letokhov, Quantum Electron. **31**, 569 (2001).
- T. W. Ebbesen, H. J. Lezec, H. F. Ghaemi, T. Thio, and P. A. Wolff, Nature 391, 667 (1998).
- A. A. Zyablovskii, A. A. Pavlov, V. V. Klimov, A. A. Pukhov, A. V. Dorofeenko, A. P. Vinogradov, and A. A. Lisyanskii, JETP 125, 175 (2017).
- I. V. Treshin, V. V. Klimov, P. N. Melentiev, and V. I. Balykin, Phys. Rev. A 88, 023832 (2013).
- V. V. Klimov, I. V. Treshin, A. S. Shalin,
 P. N. Melentiev, A. A. Kuzin, A. E. Afanasiev, and
 V. I. Balykin, Phys. Rev. A 92, 063842 (2015).
- S. Yang, N. Klughammer, A. Barth, M. E. Tanenbaum, and C. Dekker, ACS Nano 17, 20179 (2023).

- 15. F. H. C. van Loenhout, Designing zero-mode waveguides for fluorescence experiments on α -synuclein and DNA, Masters' thesis Education and Communication in the Beta Sciences July 2022; https://purl.utwente.nl/essays/95017.
- 16. J. M. Chandler and H. Xu, AIP Adv. 11, 065112 (2021).
- S. Patra, M. Baibakov, J.-B. Claude, and J. Wenger, Sci. Rep. 10, 5235 (2020).
- G. M. Crouch, D. Han, and P. W. Bohn, J. Phys. D Appl. Phys. 51, 193001 (2018).
- J.-B. Claude, S. Patra, N. Bonod, and J. Wenger, Nano Lett. 19, 7434(2019).
- S. Patra, J.-B. Claude, J.-V. Naubron, and J. Wenger, Nucleic Acids Res. 49, 12348 (2021).
- M. Baibakov, A. Barulin, P. Roy, J.-B. Claude, S. Patra, and J. Wenger, Nanoscale Adv. 2, 4153 (2020).
- J. Larkin, R. Y. Henley, V. Jadhav, J. Korlach, and M. Wanunu, Nat. Nanotechnol. 12, 1169 (2017).
- M. Baibakov, S. Patra, J.-B. Claude, A. Moreau, J. Lumeau, and J. Wenger, ACS Nano 13, 8469(2019).
- V. Jadhav, D.P. Hoogerheide, J. Korlach, and M. Wanunu, Nano Lett. 19, 921 (2019)
- P. Ponzellini, X. Zambrana-Puyalto, N. Maccaferri, L. Lanzanò, F. De Angelis, and D. Garoli, Nanoscale 10, 17362 (2018).
- J. Chena, R. V. Dalal, A. N. Petrov, and J. D. Puglisi, PNAS 111(2), 664 (2014).
- 27. A. Rhoads and K.F. Au, Genomics Proteomics Bioinformatics 13, 278 (2015).
- A. Al Masud, S.M.N. Arefin, F. Fairooz, X. Fu, F. Moonschi, B.R. Srijanto, K.R. Neupane, S. Aryal, R. Calabro, D.-Y. Kim, C.P. Collier, M.H. Chowdhury, and C.I. Richards, J. Phys. Chem. Lett. 12, 3303 (2021).
- 29. A. Barulin and I. Kim, Opt. Express 31, 12162 (2023).
- A. Barulin, Y. Kim, D. K. Oh, J. Jang, H. Park, J. Rho, and I. Kim, Nat. Commun. 15, 26 (2024).
- 31. E. M. Purcell, Phys. Rev. 69, 681 (1946).
- 32. R. J. Potton, Rep. Prog. Phys. 67, 717 (2004).
- 33. H. A. Lorentz, Het theorema van Poynting over de energie in het electromagnetisch veld en een paar algemeene stellingen over de voortplanting van het licht, Verslagen der Afdeeling Natuurkunde van de Koninklijke Akademie van Wetenschappen 4, 176 (1895).
- 34. М. Кап, Вероятность и смежные вопросы в физике, Мир, М. (1965) [М. Кас, Probability and Related Topics in Physical Sciences. With special lectures by G. E. Uhlenbeck, A. R. Hibbs, and Balth. van del' Pol, Lectures in Applied Mathematics, Interscience Publishers, Inc.; Interscience Publishers, Ltd., N.Y., London (1959), v. 1, XIII +266 p.
- 35. R. M. Mazo, Brownian Motion: Fluctuations, Dynamics, and Applications, Clarendon, Oxford (2002), 289 p.

244 В. В. Климов

- 36. И. Ю. Ерёмчев, Д. В. Прокопова, Н. Н. Лосевский, И. Т. Мынжасаров, С. П. Котова, А. В. Наумов, УФН **192**, 663 (2022).
- 37. С. И. Кулик, И. Ю. Ерёмчев, П. Ю. Апель, Д. Л. Загорский, А. В. Наумов, Журнал прикладной спектроскопии $\bf 85$, $\bf 814$ (2018).